#### Kirchhoff - Gesetze

Konzentriertheitshypothese:

- Knotenregel, KCL:

 $d \ll \lambda$  ;  $\lambda = cT = \frac{c}{f}$ 

λ = Wellenlänge
 d = Größe der Schaltung
 c = Ausbreitungsgeschw 3·10<sup>8</sup>m/s
 f = Signalfrequenz

 $\sum_{Noden}i_j(t)=0 \quad \text{(heraußfließende Ströme werden positiv gezählt)}$   $\sum_{Noden}u_j(t)=0 \quad \text{(Spannungen werden in Umlaufrichtung positiv gezählt)}$ 

- Maschenregel, KVL Knoteninzidenzmatrix: A = $\begin{bmatrix} \alpha_{nl} & \cdots & \alpha_{nb} \\ \vdots & \ddots & \ddots \\ \alpha_{nb} & \cdots & \alpha_{nb} \end{bmatrix}$ nKnoten

 $A' \cdot i = 0$  Spaltensummen von A' sind immer = 0

 $A \cdot \underline{i} = 0$  (red. Knoteninzidenzmatrix; KCL in Matrix form) ⇒ Zeile des Bezugsknotens streichen ⇒

 $M = A^{T}$  mit  $u = M u_{k}$ ⇒ KVL in Matrix form:  $u - A^T \underline{u_k} = 0$ 

#### Resistive Eintore

- Implizite Darstellung: 
$$f_F(u,i)=0$$
  
- Parameterdarstellung:  $u=u_F(\lambda)$ ,  $i=i_F(\lambda)$ 

- Explizite Darstellung: 
$$i=g_F(u)$$
;  $u=r_F(i)$   
Leitwertsdarst; Widerstandsdarst

-F ungepolt ⇒
-F aktiv ⇒
-F verlustfrei ⇒
-F quellenfrei ⇒ nur auf Koordinatenachsen

- F streng linear  $\Rightarrow$   $(ku, ki) \in F$ ;  $(u_1 + u_2, i_1 + i_2) \in F$ enthält den Ursprung

- Umpolung: 
$$\overline{F}$$
 entsteht durch Punktspiegelung von  $F$  am Unsprung:  $(\overline{u},i)=(-u,-i)\in\overline{F}$ 

$$-\underline{\text{Dualität:}} \quad (u.t) \in F \ \Leftrightarrow \left(R_d i, \frac{u}{R_d}\right) \in F^d$$

. Parallelschaltung von Widerstandsgeraden: 
$$G = G_1 + G_2 \Rightarrow \frac{1}{R} = \frac{1}{R_1} + \frac{1}{R_2} \Rightarrow \begin{bmatrix} R = R_1 | R_2 = \frac{R_1 R_2}{R_1 + R_2} \end{bmatrix}$$

- Serienschaltung von Widerstandsgeraden: gerauso wie Parallelschaltung nur G statt R und R statt G

diffbar, kann man sie dort Linearisieren

### Resistive Zweitore

- Beschreibungsformen:
- Implizit:  $f(u,\underline{i})=0$

 $\begin{bmatrix} u_2 \\ i_2 \end{bmatrix}$ 

- Parameterisiert  $\begin{bmatrix} u(\varsigma) \\ i(\varsigma) \end{bmatrix} \in F$
- Explizit: G: Leitwertsmatrix
  R: Widerstandsmatrix  $\begin{bmatrix} u_1 \\ i_1 \end{bmatrix} = A \cdot \begin{bmatrix} u_2 \\ -i_2 \end{bmatrix} = \begin{bmatrix} a_{11}u_2 - a_{12}i_2 \\ a_{21}u_2 - a_{22}i_2 \end{bmatrix}$ A: Kettenmatrix
  A': "inverse" Kettenmatrix H: Hybridmatrix
  H': "inverse" Hybridmatrix  $\left[ = A' \cdot rac{u_1}{-i_1} 
  ight] = rac{a'_{11}u_1 - a'_{12}i_1}{a'_{21}u_1 - a'_{22}i_1}$ *u*<sub>2</sub>  $egin{bmatrix} = oldsymbol{R} & oldsymbol{i_1} \ oldsymbol{i_2} \end{bmatrix}$  $=G\cdot \begin{bmatrix} u_1 \\ u_2 \end{bmatrix}$  $= H \cdot \begin{bmatrix} i_1 \\ u_2 \end{bmatrix} = \frac{h_{11}i_1 + h_{12}u_2}{h_{21}i_1 + h_{22}u_2}$  $= \boldsymbol{H}' \cdot \begin{bmatrix} u_1 \\ i_2 \end{bmatrix} = \frac{h'_{11}u_1 + h'_{12}i_2}{h'_{21}u_1 + h'_{22}i_2}$ 11  $= g_{11}u_1 + g_{12}u_2$  $\begin{bmatrix} r_{11}i_1 + r_{12}i_2 \\ r_{21}i_1 + r_{22}i_2 \end{bmatrix}$  $g_{21}u_1 + g_{22}u_2$

Aufstellen der Matrix z.B. G: 
$$g_{11} = \frac{i_1}{u_1}\Big|_{u_1=0}$$
  $g_{12} = \frac{i_1}{u_2}\Big|_{u_1=0}$   $g_{21} = \frac{i_2}{u_1}\Big|_{u_1=0}$   $g_{22} = \frac{i_2}{u_2}\Big|_{u_1=0}$   
R:  $r_{11} = \frac{u_1}{i_1}\Big|_{u_1=0}$   $r_{12} = \frac{u_1}{i_2}\Big|_{u_1=0}$   $r_{21} = \frac{u_2}{i_1}\Big|_{u_1=0}$   $r_{22} = \frac{u_2}{i_2}\Big|_{u_1=0}$ 

 $I = G \cdot U$  $U = R \cdot I$ 

<u>Linearisierung</u> (inmplizit):  $\Delta f(\Delta u, \Delta i) = M \Delta u + N \Delta i = 0$ 

streng linear (= linear und quellenfrei): eine beliebige Linearkomb. zweier Betriebspunkte ist wieder ein BP

$$\left[\begin{array}{c} \frac{u^{(1)}}{\frac{j^{(1)}}{2}} \in F \ \land \left[\begin{array}{c} u^{(2)} \\ \frac{j^{(2)}}{2} \end{array}\right] \in F \ \Rightarrow \ \alpha \cdot \left[\begin{array}{c} \frac{u^{(1)}}{j^{(1)}} \\ \end{array}\right] + \beta \cdot \left[\begin{array}{c} u^{(2)} \\ \frac{j^{(2)}}{2} \end{array}\right] \in F \ ; \ \alpha,\beta \in \mathbb{R}$$

$$G_{\mathcal{U}}$$
 mit  $G = \begin{bmatrix} \frac{\partial g_1}{\partial u_1} & \frac{\partial g_1}{\partial u_2} \\ \frac{\partial g_1}{\partial u_1} & \frac{\partial g_2}{\partial u_2} \end{bmatrix}$ 

$$f(\underline{u},\underline{i}) = M\underline{u} + N\underline{i} = 0$$

 $M := \begin{bmatrix} \frac{\partial f_1}{\partial u_1} & \frac{\partial f_1}{\partial u_2} \\ \frac{\partial f_2}{\partial u_1} & \frac{\partial f_2}{\partial u_2} \end{bmatrix}$ 

 $N := \begin{bmatrix} \frac{\partial f_1}{\partial i_1} \\ \frac{\partial f_2}{\partial i_1} \end{bmatrix}$ 

 $\frac{\partial f_1}{\partial i_2}$   $\frac{\partial f_2}{\partial i_2}$ 

- Linearisierung (explizit): 
$$i = G(u) = I + \frac{\partial g(\underline{u})}{\partial \underline{u}} \Delta \underline{u} = I + G\underline{u}$$
 mit  $G = \begin{bmatrix} \frac{\partial g_1}{\partial u_1} & \frac{\partial g_2}{\partial u_2} \\ \frac{\partial u_1}{\partial u_2} & \frac{\partial g_2}{\partial u_1} \\ \frac{\partial g_2}{\partial u_1} & \frac{\partial g_2}{\partial u_2} \end{bmatrix} | I_2 = I_1 + I_2 + I_2 + I_3 + I_4 + I_$ 

NIK Negativ Immittanz Konverter aktiv, amtireziprok, für  k =1 symmetrisch	Idealer Übertrager verlustlos, reziprok, umlehrbar für $\bar{u}=\pm 1$ Positiv Immittanz Konverter	Gyrator, Dualwandler idealer $G$ : $R_1 = R_2 = R_d$ werlustlos; $G = -G^T$ ; $R = -R^T$ Positiv Immittatiz Inverter $F_{Op} = F^d$	Nullor quellenfrei, streng linear	Strom gest. Spannungsquelle ISU CCVS	Spannungs gest. Spannungsq. USU VCVS	Strom gest. Stromquelle ISI CCCS	Spannungs gest. Stromquelle USI VCCS	Lineare Quellen	Konvexer (R,I) Widerstand	Konkaver (G,U) Widerstand	ideale Diode	Tunneldiode	Zenerdiode	Photodiode //	reale Diode	ideale Spannungsquelle	ideale Stromquelle	ohmscher Widerstand	Kurzschuß	Leerlauf	Norator	Nullator
k=1:F ist an der i₁-Achse gespiegelter Zweipol k=-1:F ist an der u₁-Achse gespiegelter Zweipol	$\lim_{a \in A}  A'  = \lim_{a \in A}  A'  = \lim_{a$	$u \downarrow \downarrow$	, i	$\mathbf{u}_{i} = 0$ $\mathbf{u}_{i} = \mathbf{v}_{i}$ $\mathbf{v}_{i} = \mathbf{v}_{i}$ $\mathbf{v}_{i}$ $\mathbf{v}_{i}$ $\mathbf{v}_{i}$	$\mathbf{u}_{\mathbf{i}}$ $\downarrow$ $\mathbf{u}_{\mathbf{i}}$ $\downarrow$ $\mathbf{u}_{\mathbf{i}}$ $\downarrow$ $\mathbf{u}_{\mathbf{i}}$ $\downarrow$ $\mathbf{u}_{\mathbf{i}}$	$ \mathbf{u} = 0 $ $ \downarrow \mathbf{i}_{1} = \beta \mathbf{i}_{1} $ $ \downarrow \mathbf{u}_{2} $ $ \downarrow \mathbf{u}_{3} $ $ \downarrow \mathbf{u}_{5} $ $ \downarrow \mathbf{u}_{5} $ $ \downarrow \mathbf{u}_{5} $	$u_i \xrightarrow{i=0} $ $ \xrightarrow{i=gu_i} $ $\downarrow u_i $ $A$		$u=0$ für $i \le I_0$ $u=R(i-I_0)$ für $i \ge I_0$	$i=0$ für $u \le U_0$ $i=G(u-U_0)$ für $u \ge U_0$	u=0 für $i>0i=0$ für $u<0$		$u < U_z \Rightarrow i \text{ sehr groß}$ Zehnerdurchbruch	$i(0) = I_S[\exp(u(t)U_T) - 1] - i_L(t)$	$\begin{aligned} u_D &= U_T \ln \left( i_D / I_S + 1 \right) \\ i_D &= I_S \left[ \exp \left( u_D / U_T \right) - 1 \right] \end{aligned}$	$u=u_0$ $i=$ beliebig	$u=$ beliebig; $i=i_0$	$u=R\cdot i$ $i=G\cdot u$	u=0 $i=$ beliebig	u= beliebig; $i=0$	u= beliebig; $i$ = beliebig	u = 0 $i = 0$
$A = \begin{bmatrix} -k & 0\\ 0 & 1/k \end{bmatrix}$ $H = \begin{bmatrix} 0 & -k\\ -k & 0 \end{bmatrix}$	$A = \begin{bmatrix} \ddot{u} & 0 \\ 0 & 1/\ddot{u} \end{bmatrix}$ $H = \begin{bmatrix} 0 & \ddot{u} \\ -\ddot{u} & 0 \end{bmatrix}$	$A = \begin{bmatrix} 0 & R_1 \\ 1/R_2 & 0 \end{bmatrix}$ $G = \begin{bmatrix} 0 & 1/R_2 \\ -1/R_1 & 0 \end{bmatrix}$	$A = \left[ \begin{array}{cc} 0 & 0 \\ 0 & 0 \end{array} \right] = 0$	$= \begin{bmatrix} 0 & 0 \\ 1/r & 0 \end{bmatrix} \qquad R = \begin{bmatrix} 0 \\ r \end{bmatrix}$	$= \begin{bmatrix} 1/\mu & 0 \\ 0 & 0 \end{bmatrix} \qquad H' = \begin{bmatrix} 1/\mu & 0 \\ 0 & 0 \end{bmatrix}$	$= \begin{bmatrix} 0 & 0 \\ 0 & -1/\beta \end{bmatrix} \qquad H = \begin{bmatrix} 0 & 0 \\ 0 & -1/\beta \end{bmatrix}$	$A = \begin{bmatrix} 0 & -1/g \\ 0 & 0 \end{bmatrix}  G = \begin{bmatrix} 0 \\ g \end{bmatrix}$	-u, -u, -u	I R	**************************************	n +	u u	U <sub>z</sub> i	n 📥		u u	- L	TR U	n ••••••••••••••••••••••••••••••••••••	n +		u u
$M = \begin{bmatrix} 1 & k \\ 0 & 0 \end{bmatrix} \qquad N = \begin{bmatrix} \\ 0 & -1/k \end{bmatrix}$ $H' = \begin{bmatrix} 0 & -1/k \\ -1/k & 0 \end{bmatrix} \qquad A'$	$M = \begin{bmatrix} 1 & -ii \\ 0 & 0 \end{bmatrix} \qquad N = H' = \begin{bmatrix} 0 & -1/ii \\ 1/ii & 0 \end{bmatrix} \qquad A' = H' = H' = H'$	$M = \begin{bmatrix} 1 & 0 \\ 0 & 1 \end{bmatrix} \qquad N = $ $R = \begin{bmatrix} 0 & -R_1 \\ R_2 & 0 \end{bmatrix} \qquad A' = $	$M = \begin{bmatrix} 1 & 0 \\ 0 & 0 \end{bmatrix} \qquad \qquad N =$	$\begin{bmatrix} 0 \\ 0 \end{bmatrix} \qquad M = \begin{bmatrix} 1 & 0 \\ 0 & 1 \end{bmatrix} \qquad N = \begin{bmatrix} 0 & 0 \\ -r & 0 \end{bmatrix}$	0 0] µ 0]	0 0] β 0]	$\begin{bmatrix} 0 \\ 0 \end{bmatrix}  M = \begin{bmatrix} 0 & 0 \\ -g & 0 \end{bmatrix}  N = \begin{bmatrix} 1 & 0 \\ 0 & 1 \end{bmatrix}$	linear; aktiv $U_0 = I_0 R$ , $I_0 = U_0 G$	- stückweise linear; für $I_0 > 0$ , $R > 0$ <u>strongest</u> - dual: konkaver Widerstand	- stückweie linear - für $U_o > 0$ , $G > 0$ : passiv, spannungsgesteuert - dual: konvexer Widerstand	<ul> <li>verlustlos; stückweise linear</li> <li>dual: umgepolte ideale Diode</li> </ul>	<ul> <li>gepolt, passiv; quellenfrei</li> <li>inkremental aktiv!</li> </ul>	- gepolt, passiv - quellenfrei	- gepolt; aktiv	- gepolt, passiv $U_T = 25mV$ - quellenfrei $I_S \approx pA$	stromgesteuert; aktiv; gepolt linear; dual zur Stromquelle	- spannungsgesteuert; aktiv; gepolt - linear, dual zur Spannungsquelle	- streng linear $R^d = \frac{R_d^2}{R}$ $G^d =$	- streng linear - dual zum Leerlauf	<ul> <li>streng linear</li> </ul>	<ul><li>streng linear; aktiv</li><li>dual zu sich selbst</li></ul>	- streng linear; verlustlos - dual zu sich selbst
$\begin{bmatrix} 0 & 0 \\ 1 & 1/k \end{bmatrix} k \in \mathbb{R}$ $= \begin{bmatrix} -1/k & 0 \\ 0 & k \end{bmatrix}$	$= \begin{bmatrix} 0 & 0 \\ \vec{u} & 1 \end{bmatrix}$ $= \begin{bmatrix} 1/\vec{u} & 0 \\ 0 & \vec{u} \end{bmatrix}$	$= \begin{bmatrix} 0 & R_1 \\ -R_2 & 0 \end{bmatrix}$ $= \begin{bmatrix} 0 & -R_2 \\ 0 & -R_2 \end{bmatrix}$ $= \begin{bmatrix} -1/R_1 & 0 \end{bmatrix}$							R > 0 stromgest.	annungsgesteuert					A	$ \begin{array}{ccc} \operatorname{lt} & n=0 \\ -u_0 = e I m \end{array} $	gepolt $m=0$ slle $-i_0=e/n$	$=\frac{1}{R_d^2G} \qquad e=0$	e=0 $n=0$	e=0 $m=0$		

## Klassifizierung der Zweitore anhand der Kettenmatrix A

3. zwei Einträge gleich Null  $\Rightarrow$  <u>INVERTER</u> / <u>KONVERTER</u> drei Einträge gleich Null 1. alle vier Einträge gleich Null ⇒ Nullor ⇒ gesteuerte Quelle

> INVERTER (z.B. Gyrator) KONVERTER (z.B. NIK; id. Übertr.)  $\begin{bmatrix} 1/\bar{u} & 0 \\ 0 & \bar{u} \end{bmatrix}$

negativ

 $\begin{bmatrix} 0 & R \\ -1/R & 0 \end{bmatrix}$ Strom ⇔ Spannung Strom ⇔ Strom; Spann.g ⇔ Spann.g

 $\begin{bmatrix} -k & 0 \\ 0 & 1/k \end{bmatrix}$ 

 $\underline{\text{Symmetric:}} \quad \underline{f^{\mu}} \left( \begin{array}{c} \underline{u} \\ \underline{i} \end{array} \right) = \underline{f}(P \cdot \underline{u}, P \cdot \underline{i}) \quad \text{wit} \quad P = \begin{bmatrix} 0 & 1 \\ 1 & 0 \end{bmatrix} = P^{-1} \quad \begin{array}{c} R = p_i P_i \\ A = A^{\prime} \end{array}$ Reziprozität:  $U^TI-I^TU=0$ ;  $G=G^T$ ;  $R=R^T$ ; det A=I; det A'=1Netzwerk besteht nur aus R, C, L  $\Rightarrow$  reziprok

z.B.:  $g_{11}=g_{22}$  und  $g_{12}=g_{21}$ 

## Die Umrechnungstabelle der Zweitor-Matrizen:

Passivität:  $\forall \begin{bmatrix} u \\ i \end{bmatrix} \in F : u^T i \ge 0$ Aktivität:  $\exists \begin{bmatrix} u \\ i \end{bmatrix} \in F : u^T i < 0$ 

Verlustlosigkeit:  $\forall \begin{bmatrix} u \\ i \end{bmatrix} \in F : u^T i = 0 \text{ bzw. } U^T I + I^T U = 0$ 

Leistung: p=u'i

A,	A	H	Н	ا ۾	<b>%</b>	[ [
		$, \frac{1}{r_{11}} \begin{bmatrix} 1 & -r_{12} \\ r_{21} \det \mathbf{R} \end{bmatrix}$	$\left[egin{array}{c} 1 \ r_{22} \end{array} \left[egin{array}{c} \det oldsymbol{R} r_{12} \ -r_{21} \end{array}  ight]$	$G = \frac{1}{\det R} \begin{bmatrix} r_{22} & -r_{12} \\ -r_{21} & r_{11} \end{bmatrix}$	[ [ [ 11 ] [ 12 ] [ 12 ] [ 12 ] [ 12 ] [ 12 ] [ 12 ] [ 12 ] [ 12 ] [ 13	R
$\frac{1}{r_{12}} \begin{bmatrix} r_{22} \det \mathbf{R} \\ 1 & r_{11} \end{bmatrix}  \frac{1}{g_{12}} \begin{bmatrix} -g_{11} & -1 \\ -\det \mathbf{G} - g_{22} \end{bmatrix}$	$\frac{1}{g_{21}} \begin{bmatrix} -g_{22} & -1 \\ -\det \mathbf{G} - g_{11} \end{bmatrix}$	$\frac{1}{g_{22}}\begin{bmatrix} \det \boldsymbol{G}  g_{12} \\ -g_{21} & 1 \end{bmatrix}$	$\frac{1}{g_{11}} \begin{bmatrix} 1 & -g_{12} \\ g_{21} \det \mathbf{G} \end{bmatrix}$	$\begin{bmatrix} g_{11} \ g_{12} \\ g_{21} \ g_{22} \end{bmatrix}$	$\frac{1}{\det G} \begin{bmatrix} g_{22} & -g_{12} \\ -g_{21} & g_{11} \end{bmatrix}$	Э
$rac{1}{h_{12}} \left[ egin{matrix} 1 & h_{11} \ h_{22} \det oldsymbol{H} \end{matrix}  ight]$	$\frac{1}{r_{21}} \begin{bmatrix} r_{11} \det R \\ 1 & r_{22} \end{bmatrix} \frac{1}{g_{21}} \begin{bmatrix} -g_{22} & -1 \\ -\det G - g_{11} \end{bmatrix} \frac{1}{h_{21}} \begin{bmatrix} -\det H - h_{11} \\ -h_{22} & -1 \end{bmatrix} \frac{1}{h_{21}'} \begin{bmatrix} 1 & h_{22}' \\ h_{11} \det H' \end{bmatrix}$	$\frac{1}{g_{22}} \begin{bmatrix} \det \boldsymbol{G} g_{12} \\ -g_{21} & 1 \end{bmatrix}  \frac{1}{\det \boldsymbol{H}} \begin{bmatrix} h_{22} & -h_{12} \\ -h_{21} & h_{11} \end{bmatrix}$	$\begin{bmatrix} h_{11} \ h_{12} \\ h_{21} \ h_{22} \end{bmatrix}$	$\frac{1}{h_{11}}\begin{bmatrix}1&-h_{12}\\h_{21}\det\boldsymbol{H}\end{bmatrix}$	$\frac{1}{h_{22}} \begin{bmatrix} \det \boldsymbol{H} \ h_{12} \\ -h_{21} & 1 \end{bmatrix}$	Н
$\frac{1}{h_{12}} \begin{bmatrix} 1 & h_{11} \\ h_{22} \det \boldsymbol{H} \end{bmatrix}  \frac{1}{h_{12}'} \begin{bmatrix} -\det \boldsymbol{H}' - h_{22}' \\ -h_{11}' & -1 \end{bmatrix}$	$\frac{1}{h_{21}^\prime} \begin{bmatrix} 1 & h_{22}^\prime \\ h_{11}^\prime \det \boldsymbol{H}^\prime \end{bmatrix}$	$\begin{bmatrix} h'_{11} \ h'_{12} \\ h'_{21} \ h'_{22} \end{bmatrix}$	$\frac{1}{\det \boldsymbol{H'}} \begin{bmatrix} h'_{22} & -h'_{12} \\ -h'_{21} & h'_{11} \end{bmatrix}$	$\frac{1}{h_{22}'}\begin{bmatrix}\det \boldsymbol{H}'h_{12}'\\-h_{21}'&1\end{bmatrix}$	$\frac{1}{h_{11}'} \left[ \frac{1}{h_{21}'} \frac{-h_{12}'}{\det \boldsymbol{H}'} \right]$	Η'
$\frac{1}{\det \boldsymbol{A}} \begin{bmatrix} a_{22} a_{12} \\ a_{21} a_{11} \end{bmatrix}$	$\begin{bmatrix} a_{11} \ a_{12} \\ a_{21} \ a_{22} \end{bmatrix}$	$\frac{1}{a_{11}} \begin{bmatrix} a_{21} - \det \mathbf{A} \\ 1 & a_{12} \end{bmatrix}$	$\frac{1}{a_{22}} \begin{bmatrix} a_{12} \det \mathbf{A} \\ -1 & a_{21} \end{bmatrix} \frac{1}{a'_{11}} \begin{bmatrix} a'_{12} & 1 \\ -\det \mathbf{A}' & a'_{21} \end{bmatrix}$	$\frac{1}{h_{22}'} \begin{bmatrix} \det H' \ h_{12}' \\ -h_{21}' \ 1 \end{bmatrix}  \frac{1}{a_{12}} \begin{bmatrix} a_{22} - \det A \\ -1 \ a_{11} \end{bmatrix} \frac{1}{a_{12}'} \begin{bmatrix} a_{11}' \ -1 \end{bmatrix} - \frac{1}{a_{12}'}$	$\frac{1}{a_{21}}\begin{bmatrix}a_{11}\det A\\1&a_{22}\end{bmatrix}$	A
$\begin{bmatrix} a_{11}' & a_{12}' \\ a_{21}' & a_{22}' \end{bmatrix}$	$\frac{1}{\det \boldsymbol{A'}} \begin{bmatrix} a'_{22} \ a'_{12} \\ a'_{21} \ a'_{11} \end{bmatrix}$	$\left] \begin{array}{c} \frac{1}{a_{22}'} \left[ \begin{array}{cc} a_{21}' & -1 \\ \det A'  a_{12}' \end{array} \right] \end{array} \right.$	$rac{1}{a_{11}'} \left[ -rac{a_{12}'}{\det m{A}'} rac{1}{a_{21}'}  ight]$	$rac{1}{a_{12}^\prime} egin{bmatrix} a_{11}^\prime & -1 \ -\det oldsymbol{A}^\prime a_{22}^\prime \end{bmatrix}$	$rac{1}{a_{21}'} \left[ egin{matrix} a_{22}' & 1 \ \det oldsymbol{A}'  a_{11}' \end{array}  ight]$	A'

#### Beschreibungsformen:

nicht quellenfrei		streng linear	
$F = Kem[MN] + \left[\frac{u_0}{i_0}\right]$	Rang[MN]=p	$F = Kern[MN] = \left\{ \left[ \frac{u}{i} \right] \mid [MN] \left[ \frac{u}{i} \right] = 0 \right\}$	implizite Darstellung
$F = Bid \begin{bmatrix} U \\ I \end{bmatrix} + \begin{bmatrix} \underline{u_0} \\ \underline{i_0} \end{bmatrix}$	$Rang\begin{bmatrix} U \\ I \end{bmatrix} = p \qquad \text{Betriebs matrix: } \begin{bmatrix} U \\ I \end{bmatrix} = \begin{bmatrix} \frac{u^{(1)}}{L^{(1)}} & \frac{u^{(2)}}{L^{(2)}} \end{bmatrix}$	$F = Bild \left[ \frac{U}{\underline{I}} \right] = \left\{ \left[ \frac{\underline{u}}{\underline{i}} \right] \mid \left[ \frac{\underline{u}}{\underline{i}} \right] = \left[ \frac{\underline{U}}{\underline{I}} \right] \cdot \underline{c}, \underline{c} \in \mathbb{R}^2 \right\}$	Parameterdarstellung
$\underline{i} = G \underline{u} + \underline{i}_{\underline{x}}$ $\underline{u} = R \underline{i} + \underline{u}_{\underline{r}}$ usw.	<u>n-v</u> r	i=Gu	explizite Darstellung

## Zusammenschaltung von Zweitoren:

Kettenschatung	Hybride Verschaltung	Serienschaltung	Parallelschaltung
		R 7	1 <u>C3</u>
$\underline{a}_{ges} = \underline{a_1} \cdot \underline{a_2}$	$\frac{h_{ges} = h_1 + h_2}{H_{ges} = H_1 + H_2}$	$r_{gas} = r_{\perp} + r_{\perp}$	$\underline{g_{ges}} = \underline{g_1} + \underline{g_2}$
$A_{ges} = A_1 \cdot A_2$	$\frac{h'_{ges}}{H'_{ges}} =$	$R_{\text{ges}} = R_1 + R_2$ $G = G_1(G_1 + G_2)$	$G_{ges} = G_1 + G_2$ $R = R_1(R_1 + R_2)$
$\begin{bmatrix} u_1 \\ i_1 \end{bmatrix} = \underbrace{a_{\text{per}}}_{\left[ -i_2 \right]} \begin{bmatrix} u_2 \\ -i_2 \end{bmatrix} = \underbrace{a_1}_{\left[ a_2 \right]} \left( \underbrace{a_2}_{\left[ -i_2 \right]} \right)$	$\frac{h'_{ges} = h'_1 + h'_2}{H'_{ges} = H'_1 + H'_2}$	$G = G_1 \left( G_1 + G_2 \right)$	$R = R_1(R_1 + R_2)$

#### Transistoren

#### Grund schaltungen: In Emitterschaltung gilt

 $i_b = I_S \left( \exp \left( \frac{u_{be}}{U_T} \right) - 1 \right)$  $u_{be} = U_T \ln \left( 1 + \frac{i_b}{I_s} \right)$ 















pnp in Emitterschaltung npn in Basisschaltung

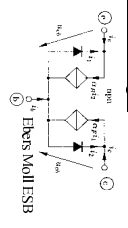
npn in Kollektorschaltung

npn in Emitterschaltung - Der Strom zur jeweiligen Bezugsklemme kommt nicht vor! (z.B.  $i_e$ )

## - Diodenrichtung: $p \bigoplus \bigvee n$

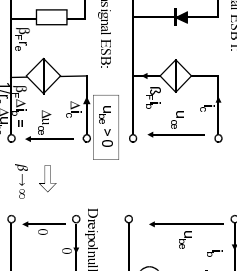
## Transistoren sind immer passiv!

#### Ersatzschaltungen:



(pnp: Diode umdrehen! Kleinsignal ESB sind für pnp und npn identisch!)  $u_{cb} > 0$  npn Transistor in Emitterschaltung, Vorwärtsbetrieb!

- Hybridmatrix H der Emitterschaltung: r.: Eingangswiderstand
- $\beta: Stromverstarkung$   $\mu: Spannungsrückwirkung$  g: Augangschiwert  $\begin{bmatrix} \Delta u_{i_{c}} \\ \Delta i_{c} \end{bmatrix} \approx \begin{bmatrix} r_{c} = \frac{\Delta u_{i_{c}}}{\Delta i_{0}} & \mu = \frac{\Delta u_{i_{c}}}{\Delta u_{c}} \\ \beta = \frac{\Delta i_{c}}{\Delta i_{0}} & g = \frac{\Delta i_{c}}{\Delta u_{c}} \end{bmatrix} \Delta u_{c}$   $\begin{bmatrix} \Delta u_{i_{c}} \\ \Delta i_{c} \end{bmatrix}$



## - Verlustleistung: $P_{\nu} = U_{be} I_b + U_{ce} I_c \approx I_c U_{ce}$

- Kleinsignalverstärkung:  $v_u = \frac{\Delta u_{ou}}{\Delta u_{in}}$
- Kleinsignalleitwert / Steilheit:  $g_m = \frac{\partial i_c}{\partial u_{bc}}$
- Leistungsverstärkung:  $\boxed{ \nu_p = \nu_u \cdot \nu_i = \beta_F = \frac{\Delta u_{out} \cdot \Delta i_c}{\Delta u_{in} \cdot \Delta i_b} }$ Eingangskennlinie: i.

## Arbeitspunktbestimmung:

- Kirchhoffgleichungen aufstellen (meist u=u', i=-i') (u',i') sind Quellenkenngrößen
- (u',i') eleminiren, durch (u,i) ersetzen in Koodinatensystem eintragen, Schnittpunkt der Kennlinien ist Arbeitspunkt.  $U_{lx} = U_0 + R_i l_i^*$ : Quellenkennlinie Q
- $U_{bc} = U_0 R_i i_e$ : externe Quellenkennlinie  $Q^x$  $\Rightarrow U_{BE} = 0 \Rightarrow U_0 = R_i i_0 \ (bei Q^{x}) \Rightarrow i_0 = \frac{R_i}{u_0}$
- $\Rightarrow$  Punkte  $(U_0,0)$  und  $(0,i_0)$  einzeichnen und als Gerade verbinden(  $\underline{\mathcal{Q}}^x$ )
- Schnittpunkt  $Q^s$  mit Transistorkennlinie ist AP- im <u>Eingangskennlinienfeld</u> haben bereits kleine Änderungen der Steigung von  $Q^s$  eine große Verschiebung des AP zur Folge!

### Unipolartransistoren: FET























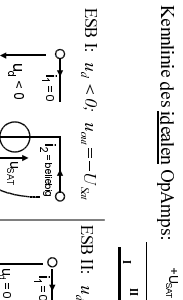


ideal:  $u_1 = 0$  $i_1 = i_2$ 

Stromspiegel:

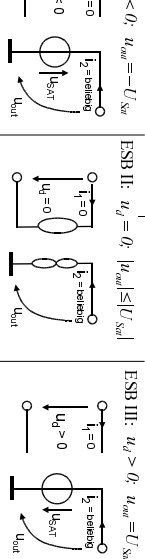
### Operationsverstärker





- Wird der OpAmp im -In den Sättigungsbereichen kennt man  $u_{out}$  immer:  $u_{out} = \pm U_{Sot}$ streng linearen Bereich betrieben, sofort ESB II verwenden!!

Nichtinvertierender Verstärker: 👊

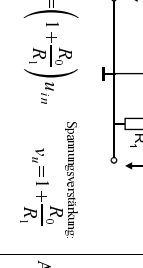


u<sub>d</sub> > 0

i<sub>2</sub> = beliebig ) Jusat

> Multiplizierer nicht reziprok verlustlos

 $u_{\alpha m} = \left(1 + \frac{R_0}{R_1}\right) u_{in}$ Spannungsverstärkung  $R_0$ Addierer:



Mehrfacheinkopplung:  $u_{out} = -R_0 \sum_i \frac{u_i}{R_i}$ 

 $u_{\alpha\alpha}=u_{in}$  $v_u = 1$ 

Eingang: nicht belastet  $i_n = 0$ Ausgang: hohe Ströme

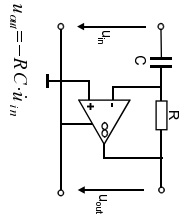
Potentialdifferenzverstärker:

Differenzierer:

Invertierender Verstärker:

R<sub>1</sub>

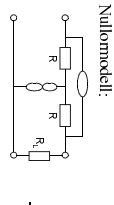
R<sub>0</sub> Spannungsverstärkung $v_n = \frac{R_0}{R_1}$ 

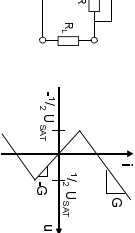


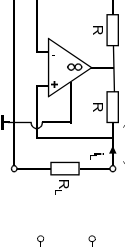
Integrierer:

#### $u_{out} = -u_c(t_0) \overline{RC}$ J $u_{in} dt$

## Negativimmittanzkonverter (NIK):







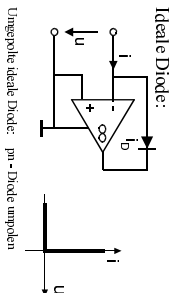
 $u_{out} = -\sum_{i=1}^{n} k_i u_i + \sum_{i=1}^{m} k_i' u_i'$ Summi erer:  $k_i = \frac{G_i}{G_0}$   $k_i' = \frac{G_i'}{G_0} \cdot \frac{G}{G'}$ 

Konkaver Widerstand

Konvexer Widerstand:

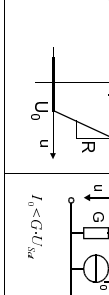
Logarithmierer:

 $u_{out} = -U_T \ln \frac{u_{in}}{R J_S}$ 



## Gyrator

Kettenschaltung eines NIK (k=-1)Parallelschaltung zweier USI <u>oder</u> Serienschaltung zweier ISU



## USU mit $\mu > 1$ = Nichtinvertierender Verstärker $\mu$ <0 Invertierendem Verstärker und Spannungsfolger in Kette

**ISU** mit r < 0 = Invertiernder Verstärker ohne R<sub>1</sub> r>0 zusätzlich invertierenden Verstärker mit  $v_u=-1$  nachschalten

### Resistive Mehrtore

- - Widerstandsmatrix:  $R = -R = -M^{-1}N = -N$

$$\begin{bmatrix} i_1 \\ i_2 \\ i_2 \end{bmatrix} = h \begin{bmatrix} u_1 \\ u_2 \\ i_3 \end{bmatrix} = \begin{pmatrix} 0 \\ 0 \\ u_1 u_D \\ u_2 \end{pmatrix}$$

Spannungsfolger: = Nicht invertierender Verstärker = Impedanzwandler mit \(\nu\_n = 1\)

#### Analyseverfahren

Verbindungsmehrtor

$$Rang\begin{bmatrix} B' & 0 \\ 0 & A' \end{bmatrix} = Rang[MN] = b$$

Jede Knotenpunktsgleichung steht auf jeder Schleifengleichung senkrecht:  $A'B'^T=0$ 

Eigenschaften des Verbindungsmehrtors:

A Knoteninzidenzmatix
B Schleifeninzidenzmatrix

b Anzahl der Kanten (Zweige, Branches) = Anz. der Tore p Zeitinvariant, streng linear, verlustlos, reziprok 1  $U^{T}I=0$  Tellegenscher Satz

Jeder Torspannungsvektor des VMT steht auf jedem Torstomvektor de VMT senkrecht

- Baumkonzept (= Schleifenanalyse, oder Schnittmengenanalyse) Netzwerkgraph zeichnen: Baum muß folgende drei Eigenschaften erfüllen:
- Erst Baumzweige, dann Verbindungskanten fortlaufend nummerieren. Baum ist ein zusammenhängender Graph - Er enthält alle Knoten - und hat keine Schleifen

Es gibt  $det(AA^{I})$  verschiedenen Bäume im Netzwerkgraphen.

Anzahl der Baumzweige: (n-1)

 $\frac{-R_2}{R_1}u_{in} = \frac{-R_4}{R_3}u_{in} \quad \text{Bed. } \frac{R_1}{R_2} = \frac{R_3}{R_4}$ 

Umpolung des OpAmp:

Anzahl der Verbindungskanten: s = b - (n-1) = Anzahl der linear unabh. Schleifengleichungen b Gleichungen vollständige Beschr. des Verbindungsmehrtors:

- Aufstellen der linear unabh. Maschengleichungen: Eine Schleife enthält nur eine Verbindungskante, sonst nur Baumzweige ↓  $B \cdot \underline{u} = \begin{bmatrix} B_b & E_S \end{bmatrix} \begin{vmatrix} \underline{u}_b \\ \underline{u} \end{vmatrix} = 0$
- Aufstellen der linear unabh. Knotengleichungen: Superknoten enthält nur eine Baumkante, sonst nur Verbindungskanten

 $u_{\nu}$ 

 $B_b$ 

 $E_S$ 

0  $\frac{u_b}{\dot{i}_b}$ 00

 $\begin{bmatrix} E_{n-1} & -B_b^T \end{bmatrix} \begin{bmatrix} \frac{t_b}{t_y} \end{bmatrix} = 0$ 

### Maschenstromanalyse

Knotenspannungsanalyse



- durch ideale Übertrager  $(\ddot{u}=1)$  kann ein nichtplanarer nur bei planaren Netzwerken! Graph in einen planaren Graph überfüht werden, dabei steigt die Anzahl der Kanten
- um zwei pro idealem Ubertrager

A kann durch Augenschein aufgestellt Das Aufstellen des Baumes entfällt diese sind unbeschaltet und dienen ausschließlich als Meßtore. (n-1) zusätzliche Kanten zwischen

Bezugsnoten und übrigen (n-1) Knoten

b+(n-1) Gleichungen

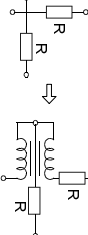
 $\frac{u_k}{i}$ 00

werden (A = Knoteninzidenzmatrix)

- gut bei stark vermaschten

Netzwertken  $(b\gg n)$ 

 gut bei schwach vermaschten Netzwerken  $(b \approx n)$ 





lin. Netzwerkelemente  $\Rightarrow$  Mu+Ni=e  $\underline{e}$ : Erregungsvektor aller unabhängiger Quellen

eindeutige Lösung des Tableaugleichungssystems wenn  $\det T(t_0) \neq 0$ 

Knotentableausystem:

- Nichtlineares Tableaugleichungssystem:  $\begin{bmatrix} B & 0 \\ 0 & A \end{bmatrix} \begin{bmatrix} \underline{u} \\ \underline{i} \end{bmatrix} = \underline{0}$ 

h(u, i, t) = 0 je p Gleichungen in 2p Variabelen

# Reduzierte Knotenspannungsanalyse / Maschenstromanalyse

Umformen des Knotentableausystems: red. Knotenleitwertsmatrix  $Y_k$ 

$$Y_k = AYA^T = A(-N^{-1}M)A^T$$

$$Y = \underline{\text{Kanten}} \text{ leitwertsmat}$$

$$Y_{\cdot} = (n-1) \quad \text{Gleichun}$$

Umformen des Maschentableusystems: - Maschenwiderstandsmatrix  $Z_m$ 

 $Z_m = B(-M^{-1}N)B^T$ 

$$|I_{\underline{u}} = -AI_{\underline{0}}| \qquad |I_{\underline{u}} \underline{u}_{\underline{u}}|^2$$
- Maschen-Stromquellenvektor  $\underline{u}_{\underline{u}}$ 

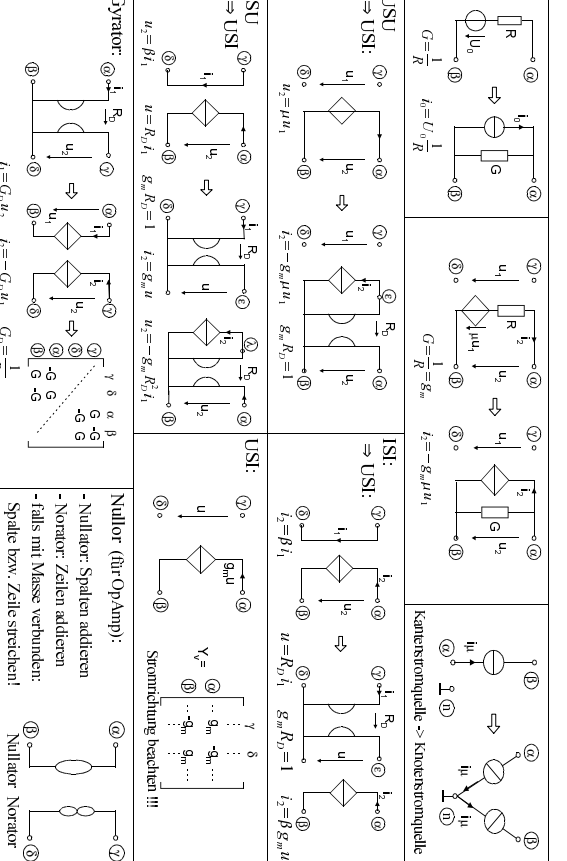
$$\underline{u}_{\underline{u}} = -B\underline{u}_{\underline{0}} = -BM^{-1}e \qquad |Z_{\underline{m}}\underline{i}_{\underline{m}} = \underline{u}_{\underline{d}}|$$

$$Y_k = (n-1)$$
 Gleichungen

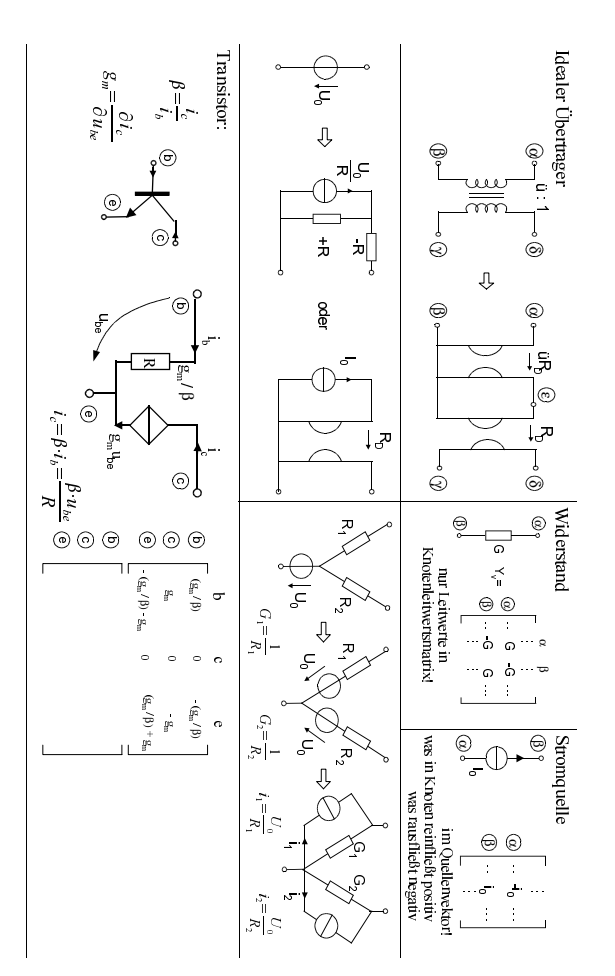
## $Z_m = s$ Gleichungen

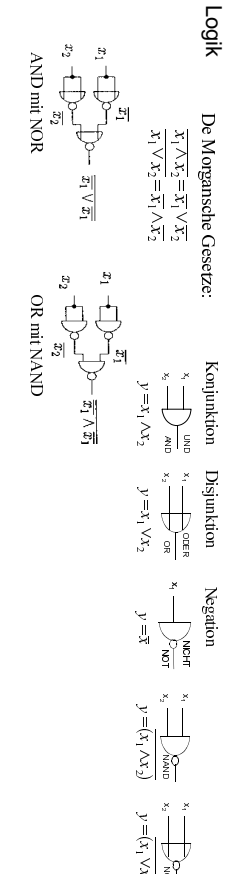
# Direktes Aufstellen der red. Knotenleitwertsmatrix (komplexe KSA)

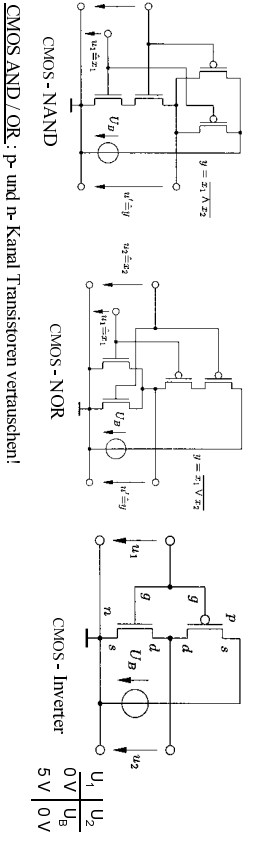
- 1. Nichtspannungsgesteuerte Elemente erstzen! 2. Schrittweise Knotenleitwertsmatrix Y aufstrellen:  $Y_k u_k = i_d$
- Bezugsknoten weglassen!
   komplex jωC und 1/jωL Im Prinzip wie G und R
  3. Gesteuerte Quellen: Steuerleitwerte eintragen.
  4. Gyrator einbauen (entsprechende Zeile / Spalte streichen!)
- 6. Knotenstromquellenvektor  $i_{\mu}$  aufstellen



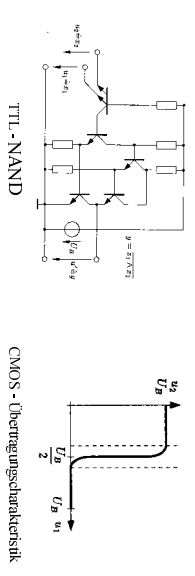
Bitte wenden!







CMOS AND / OR: p- und n- Kanal Transistoren vertauschen!



DTL-NAND

## Reaktive Netzwerkelemente

#### Beschreibungsformen:

$[\phi] - Wh - V_c$	$[L] = \frac{Wb}{A} = \frac{Vs}{A} = H$	Induktivität		[Q]=C=As	$[C] = \frac{C}{V} = \frac{As}{V} = F$		C	
	đt	$u(t) = \frac{d \phi(t)}{dt}$	$\phi(t) = \phi_0 + \int_{t_0}^t u(\tau) d\tau$		dt	$i(t) = \frac{d q(t)}{d t}$	$q(t) = q_0 + \int_{t_0}^{t} i(\tau) d\tau$	allgemein
	$i=l^{-1}(\phi)$	$\phi = l(i)$	$f_l(i, \phi) = 0$		$u=c^{-1}(q)$	q = c(u)	$f_c(u,q)=0$	impl. / expl.
		u(t)=Li(t)	$\phi(t)=Li(t)$			$i(t)=C\dot{u}(t)$	q(t) = Cu(t)	linear
	$Y = \frac{1}{j \omega L}$	: 1	U = ZI $Z = i \omega I$		$Z = \frac{1}{j \omega C}$	$Y = j \omega C$	I = YU	komplex
$i(t)=i_L(t)+i_0$		m € 0	<u> </u>	$u(t)=u_c(t)+u_0$	·		<b></b> ∘ 	mit Anfangsbedingung

- Ein reaktives Eintor heißt streng linear, wenn seine Kennlinie ein Unterraum der  $\,u\!-\!q\,$ oder  $\,i\!-\!\phi\,$ Ebene ist
- Kapazität des Plattenkondensators:  $C = \epsilon_0 \frac{A}{d}$

Memristor:

 $u_M(t) = \dot{\Phi}(t)$   $i_M(t) = \dot{q}(t)$ 

#### Energiebetrachtungen:

- <u>ideale</u> Reaktanzen sind <u>verlustlos; Außer</u> ihre Kennlinie ermöglicht zwei verschiedene Wege um von einem Punkt.  $P_1$  zu  $P_2$  zu gelangen. (Hysterese Kennlinie)
- im stationären Fall ist der Leistungsfluß Null. u(t)=const i(t)=const  $\Rightarrow$  i=dql dt= $0 \Rightarrow p$ =u·i=0
- Energieänderung:

$$W_{c}(t_{1},t_{2}) = W_{c}(q_{1},q_{2}) = \int_{q_{1}}^{q_{2}} u(q)dq = \frac{1}{2C} (q_{2}^{2} - q_{1}^{2}) = \frac{C}{2} (u_{2}^{2} - u_{2}^{2})$$

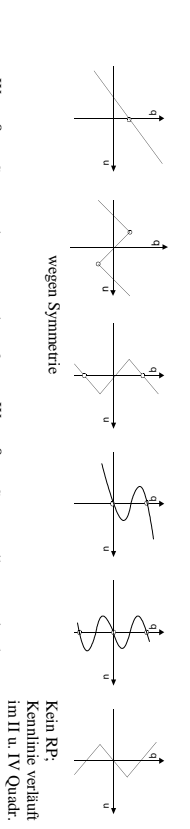
Flächen abschnittsweise berechnen!

- gespeicherte Energie:  $E_C(q_1) = E_C(u_1) = \frac{1}{2C} q_1^2 = \frac{1}{2} C u_1^2$ 

 $W_L(t_1, t_2) = W_L(\Phi_1, \Phi_2) = \int i(\Phi) d\Phi =$ 

- $E_L(\phi_1) = E_L(i_1) = \frac{1}{2L} \phi_1^2 = \frac{1}{2} L i_1^2$
- Relaxpunkte: (Ruhepunkte) energetisch tiefste Punkte der Kennlinie, d.h. auf dem Weg zu jedem anderen Punkt wird Energie aufgenommen.  $E \ge 0$  Kandidaten für Relaxpunkte: Knick, Wendestelle (Sinus), Schnittpunkt mit Koordinatenachse
- Energiebilanz:  $W_c > 0 \Leftrightarrow q$  steigt und u > 0 oder q fällt und u < 0 $W_c < 0 \Leftrightarrow q$  steigt und u < 0 oder q fällt und u > 0
- für  $\mathbf{L}$ : q durch  $\Phi$  und u durch i ersetzen

## Beispiele für Relaxationspunkte bei C:



 $W_c > 0 \Rightarrow$  System nimmt Energie auf

Energie

symmetrisch! RP weil nicht Ursprung kein

beliebig groß

 $W_c < 0 \Rightarrow$  System gibt Energie ab

Bei L dual:  $q \Rightarrow \Phi$ ;  $u \Rightarrow i$ 

 $\underline{\text{Mehrfachkarakter der Netzwerkelemente:}} \qquad f_{\scriptscriptstyle R}(u\,,i) = 0\;; \quad f_{\scriptscriptstyle C}(u\,,q) = 0\;; \quad f_{\scriptscriptstyle L}(i\,,\Phi) = 0\;; \quad f_{\scriptscriptstyle M}(\Phi\,,q) = 0$ 

- Nullator, Norator, Leerlauf und Kurzschluss sind Kapazitiv, induktiv, resistiv und memristiv
- Spannungsquellen sind resistiv und kapazitiv
- Stromquellen sind resistiv und induktiv

## Zusammenschaltung reaktiver Eintore:

der q-u - Ebene Funktionsadition in Serienschaltung der u-q - Ebene Parallelschaltung Funktionsadition in nichtlineare Reaktarzen **c** <u>11</u> +  $C(u)=C_1(u)+C_2(u)$  $C^{-1}(q) = \\ = C_1^{-1}(q + q_{01}) + \\ |$  $q_2 = c_2(u)$  $+C_2^{-1}(q\!+\!q_{02})$  $q_1 = c_1(u)$ q=c(u)lineare Reaktanzen e ↓ ↓ ↓ ₽İф  $U_0 = U_{01} = U_{02}$  $U_0 = U_{01} + U_{02}$  $C = C_1 || C_2$  $C=C_1+C_2$  $=\frac{1}{C_1+C_2}$ 

gleicher Struktur, wenn man In einem rein kapazitiven oder rechnen wie bei einem resistiven Netzwerk rein induktiven Netzwerken kann man Kapazitäten wie Leitwerte und

behandelt.

nduktivitäten wie Widerstände

 $L_s = L_1 + L_2$ 

 $i_0 = i_{01} = i_{02}$ 

Bei Induktivitäten dual: Serienschaltung: Parallelschaltung:  $L_p = L_1 || L_2 = \frac{L_1 L_2}{L_1 + L_2}$  $i_0 = i_{01} + i_{02}$ 

# Umwandlung resistiver Beschreibung in reaktive Beschreibungsform

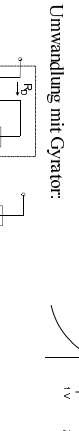
Einige resistive Zweitore können auch durch eine Beschreibung als reaktives Mehrtor angegeben werden

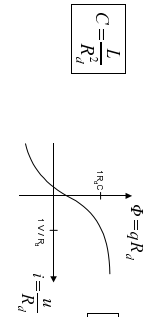
- Bedingungen: implizite resistive Beschreibung  $f_R(u,i)=0$  zerfällt in zwei una bhängige Funktionen  $\underline{f_1}(\underline{u})=0$  und  $\underline{f_2}(\underline{i})=0$
- eine der zwei Funktionen muß streng linear sein!  $\underline{f_1}(\underline{u}) = M\underline{u} = 0$  oder  $\underline{f_2}(\underline{i}) = N\underline{i} = 0$
- durch Integration über die Zeit erhält man:  $\underline{f_1}(\phi) = M \phi = 0$  bzw.  $\underline{f_2}(q) = N q = 0$

Reaktive Beschreibung  $f_{\underline{C}}(\mu,q) = \begin{bmatrix} f_{\underline{1}}(\mu) \\ f_{\underline{2}}(q) \end{bmatrix} = 0$  bzw.  $f_L(i\phi)=$  $\begin{bmatrix} \frac{f_1(\phi)}{f_2(i)} \end{bmatrix} = 0$ 

## Dualwandlung zwischen Reaktanzen

von Eintoren. Kapazität und Induktivität sind zueinander duale Klassen





 $L = C R_d^2$ 

#### Stetigkeit:

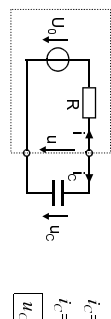
bei C: Die Torspannung  $u_C(t)$  ist stetig wenn der Torstrom  $i_C(t)$  beschränkt, d.h.  $|i_C(t)| < \infty$ 

## Schaltungen ersten Grades

Eintorbeschaltung mit Helmholz / Thévenin (C)

bzw.

Mayer / Norton (L) :



 $u_C(t_\infty) = U_0$  $i_c = C \cdot u_c$  $i_C = -i$ 

 $u_L = -u$  $u_L = L i_L$ 

 $i_L(t_{\infty})=I_0$ 

Aus Graph ablesen: - Aus der Steigung des Graphen:  $R = \frac{\Delta u}{\Delta i}$ 

- Kennlinie verlängem bis zum Schnittpunkt mit der u- bzw. i- Achse  $\Rightarrow U_0$  bzw.  $I_0$ 

Zeitkonstante

 $\tau = R \cdot C$ 

Zeitkonstante G=- $\tau = G \cdot L$ 

C durch Spannungsq.  $u_C(t_0)$  ersetzen  $\Rightarrow u=u(t_0)$ C durch LL ersetzen  $\Rightarrow u_C(t_\infty) = u$ 

L durch Stromq.  $i_L(t_0)$  ersetzen  $\Rightarrow i(t_0)$ L durch KS ersetzen  $\Rightarrow i_L(t_\infty)=i$ 

## Strom-, Spannungsverläufe bei konstanter Erregung

Differenzial gl. 1. Grades: 
$$u_C = \frac{-1}{RC} u_C + \frac{1}{RC} u_0$$

$$\dot{i}_L = \frac{-1}{GL} i_L + \frac{1}{GL} i_L$$

Lösung  $i_{C}(t)=C\left(-\frac{1}{\tau}\right)\cdot\left[u_{C}(t_{0})-u_{C}(t_{\infty})\right]ex\ p$  $u_C(t) = u_C(t_\infty) + [u_C(t_0) - u_C(t_\infty)] ex p$  $-\frac{t-t_0}{}$ 

 $u_L(t) = L\left(-\frac{1}{\tau}\right) \cdot \left[i_L(t_0) - i_L(t_\infty)\right] ex p$  $i_L(t)=i_L(t_\infty)+[i_L(t_0)-i_L(t_\infty)] ex p$ 

Stromverlauf bei C, Spannungsverlauf bei L SPRINGT! (ist unstetig)  $\Rightarrow$  Werte an Intervallgrenze extra berechnen!  $i_C-(t_1)$ ,  $i_C+(t_1)$ ,  $u_L-(t_1)$ ,  $u_L+(t_1)$ 

instabiler Fall  $\tau < 0$ 

- Tangente an x(t) in  $(t_0,x_0)$  geht durch  $(t_0-|\tau|,x_\infty)$ 

#### Skizze des Zeitverlaufs:

 $\frac{1}{10}$  tabiler Fall  $\tau > 0$ 

- Tangente an x(t) in  $(t_0,x_0)$  geht durch  $(t_0+\tau,x_\infty)$
- x(t) hat sich nach  $\tau$ :  $0.63 \cdot (x_0 x_\infty)$  in Richtung  $x_\infty$  bewegt - x(t) hat sich nach  $\tau$ : 0,63  $(x_0-x_\infty)$  in Richtung  $x_\infty$  bewegt - Nach  $|\tau|$  ist x(t) um 1,72  $|x_0-x_\infty|$  angewachsen
- -nach  $7 \cdot \tau$  ist  $x_{\infty}$  praktisch erreicht (Tangente)
- $x_{\infty} > x_0$  $x_{\infty} < x_0$
- nach  $7.\tau$  ist  $x_{\infty}$  praktisch erreicht (Tangente)

 $x_{\infty} = x(t_{\infty})$ : Gleichgewichtszustand (Fixpunkt)

 $x_0 = x(t_0)$ : Anfangswert

Strom- und Spannungsverläufe bei allgemeiner Erregung (  $u_0(t)$  bzw  $i_0(t)$  sind beliebige Funktionen der Zeit)

$$u_{C}(t) = u_{C}(t_{0}) \ ex \ p\left(-\frac{t-t_{0}}{\tau}\right) + \int_{t_{0}}^{t} \frac{1}{\tau} u_{0}(t') \ ex \ p\left(-\frac{t-t'}{\tau}\right) dt'$$

$$i_{L}(t) = i_{L}(t_{0}) \ ex \ p\left(-\frac{t-t_{0}}{\tau}\right) + \int_{t_{0}}^{t} \frac{1}{\tau} i_{0}(t') \ ex \ p\left(-\frac{t-t'}{\tau}\right) dt'$$

$$= \frac{1}{\tau} \int_{t_{0}}^{t} \frac{1}{\tau} u_{0}(t') ex \ p\left(-\frac{t-t'}{\tau}\right) dt'$$

Lineare Zeitvariante Schaltung

Schalter wird zum Zeitpunkt T geschlossen

offener Schalter.

geschlossener Schalter.

 $U_{C}(t_{\scriptscriptstyle \infty}){=}U$ 

 $U_C(t)=U_2$  $t_{\epsilon}[T, \infty]$ 

- 2 verschiedene  $u(t_{\infty})$  und 2 verschiedene  $\tau$ 

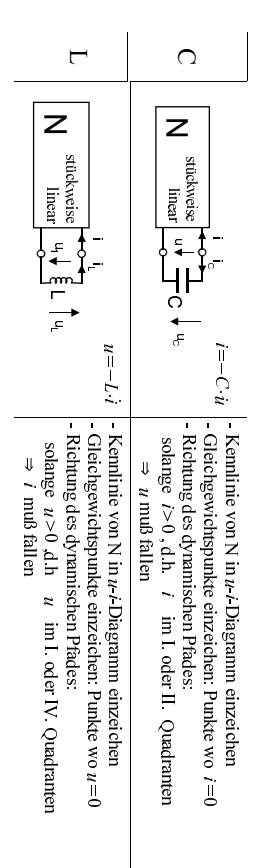
- sonst reelle Vorgehensweise wie oben!

passiv ⇒ stabil

aktiv ₩ instabil (vgl. stückweise lineare Schaltungen)

## Stückweise lineare Schaltungen

#### Dynamischer Pfad



Zeitdauer um Kennlinie zu durchlaufen (Stückweise Lineare Schaltung

- einzelne ESBs zeichnen und Gleichungen aufstellen, τ berechnen
- DGL nach t auflösen:  $u(t_0)$ = Startwert
- $t_{1} = t_{0} + \tau \cdot \ln \frac{u_{C}(t_{0}) u_{C}(t_{\infty})}{u_{C}(t_{1}) u_{C}(t_{\infty})}$

bei L:

 $t_1 = t_0 + \tau \cdot \ln \frac{i_L(t_0) - i_L(t_\infty)}{i_L(t_1) - i_L(t_\infty)}$ 

- $u(t_{\infty})$  = gedachter Schnittpunkt des Astes mit u Achse.  $u(t_1)$ = Endpunkt des Astes
- nächster Ast:  $t_1$  für  $t_0$  , neues  $\tau$  , neue  $u(t_0)$  ,  $u(t_1)$  ,  $u(t_{\infty})$
- Sprünge: Sprünge kosten keine Zeit
- bei L: Strom konstant, Spannung springt bei C: Spannung konstant, Strom springt
- Symmetrie der Kennlinie ausnutzen: T=2t<sub>2</sub>
- $t_1 = t_2$
- Vorsicht: Zählpfeilrichtung beachten! bei  $C: i_C = -i$  bei  $L: u_L = -u$
- Periodendauer (Relaxationsoszilator):  $T = t_3 t_1$  Frequenz:  $f = \frac{1}{T}$

#### Loter Punkt

- ist kein Gewichtszustand und es existiert kein Ausweg entlang der Kennlinie
- dynamischer Pfad kann durch <u>Sprungregel</u> fortgesetzt werden:
   bei C: Punkt auf Kennlinie suchen mit gleicher Spannung
- bei L: Punktauf Kennlinie suchen mit gleicher Stromstärke
- P muß einziger Punkt mit dieser Eigenschaft sein.
- ⇒ periodischer Verlauf von Strom und Spannung!
- Inggerung

   Durch Triggerimpuls wandert man von einem stabilen zu einem anderen stabilen GGP. Der Triggerimpuls

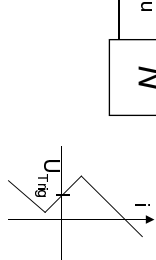
   Purch Triggerimpuls wandert man von einem stabilen zu einem anderen stabilen GGP. Der Triggerimpuls

  verschiebt die Kennlinie so, daß der Betriebspunkt von einem GGP in den anderen wandern kann.
- $-i_{ing}$  oder  $u_{ing}$  muß groß genug sein, damit Zwischenzustände erreicht werden, es dürfen aber keine neuen Totpunkte entstehen
- $\Delta t$  muß lang genug sein, damit evtl. Zwischenpunkte durchlaufen werden

### Inggern mit Strom (bei C) $i'=i+I_{Trig}$

<u>Triggern mit Spannung</u> (bei L)

 $u'=u-U_{Trig}$ 



=

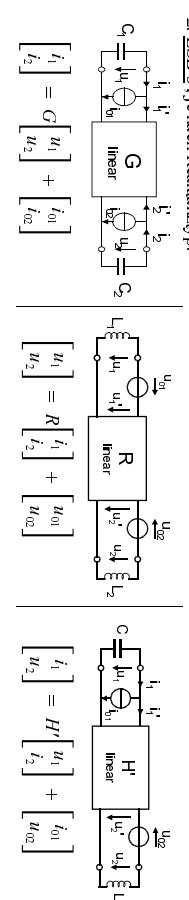
12

## Lineare Schaltungen zweiten Grades

## Zustandsgleichungen aufstellen



- Schaltung umzeichnen, so daß Reaktanzen an Toren eines resistiven Zweitors liegen
- 2. ESB's, je nach Reaktanztyp



- Matrixelemente berechnen, in Abhängigkeit von unabhängigen Torgrößen und Erregung squellen (innen) mit KVL, KCL
- I.)  $i_1 = g_1(u_1, u_2, u_0, i_0) = -C \dot{u}_1$ II.) oder Gaufstellen  $i_2 = g_2(u_1, u_2, u_0, i_0) = -C \dot{u}_2$ 1.)  $u_1 = r_1(i_1, i_2, u_0, i_0) = -Li_1$  $u_2 = r_2(i_1, i_2, u_0, i_0) = -Li_2$
- II.) oder Raufstellen

II.) oder H'aufstellen

| I.)  $i_1 = h_1(u_1, i_2, u_0, i_0) = -C i$  $u_2 = h_2(u_1, i_2, u_0, i_0) = -Li_2$ 

4. Zustandsmatrix A ermitteln  $\begin{bmatrix} 1 & 1 \end{bmatrix}$  $A = \begin{bmatrix} \frac{A}{C_1} & A & c. \\ -\frac{1}{C_1} & 0 \\ 0 & \frac{1}{C_2} \end{bmatrix} G$ 

$$A = \begin{bmatrix} -\frac{1}{L_1} & 0 \\ 0 & -\frac{1}{L_2} \end{bmatrix} \cdot R \qquad A = \begin{bmatrix} -\frac{1}{C} & 0 \\ 0 & -\frac{1}{L} \end{bmatrix}$$
oder aus I)

Einkoppelmatrix B bestimmen

oder aus I)

 $\underline{v} = \begin{bmatrix} u_0 \\ i_0 \end{bmatrix}$  ist Vektor aller inneren Erregungen; T ist Transformationsmatrix

Wenn die Erregung gleich null ist handelt es sich um ein autonomes System

$$\begin{bmatrix} i_{01} \\ i_{02} \end{bmatrix} = \mathcal{I}_{\Sigma}$$

$$\begin{bmatrix} u_{01} \\ i_{02} \end{bmatrix} = \mathcal{I}_{\Sigma}$$

$$\begin{bmatrix} -\frac{1}{C_1} & 0 \\ 0 & -\frac{1}{C_2} \end{bmatrix}$$

$$B = \begin{bmatrix} -\frac{1}{C_1} & 0 \\ 0 & -\frac{1}{L_2} \end{bmatrix}$$

$$B = \begin{bmatrix} -\frac{1}{C_2} & 0 \\ 0 & -\frac{1}{L_2} \end{bmatrix}$$

6. <u>Zustandsgleichung</u> aufstellen: <u>Zustandsvektor</u>  $\underline{x}$ :

$$\mathbf{x} = \begin{bmatrix} u_1 \\ u_2 \end{bmatrix} \qquad \dot{\mathbf{x}} = \begin{bmatrix} \dot{u}_1 \\ \dot{u}_2 \end{bmatrix} \qquad \mathbf{x} = \begin{bmatrix} \dot{i}_1 \\ \dot{i}_2 \end{bmatrix} \qquad \dot{\mathbf{x}} = \begin{bmatrix} \dot{i}_1 \\ \dot{i}_2 \end{bmatrix} \qquad \mathbf{x} = \begin{bmatrix} u_1 \\ \dot{i}_2 \end{bmatrix}$$

Ausgangssignal:  $y = c^T x + dy = u_\alpha$ 

 $\underline{c}^T$  = Auskoppelvektor

d= Durchgriff der Erregung

 $\underline{\nu}$  = Erregungsvektor

EW's berechnen: 
$$\lambda_{1,2} = \frac{T}{2} \pm \sqrt{\frac{T^2}{4}} - \Delta$$
  $T = a_{11} + a_{22} = \text{Spur A}$   $\Delta = a_{11} + a_{22} = \text{Spur A}$   $\Delta = a_{12} + a_{23} = \text{Spur A}$   $\Delta = a_{14} + a_{24} = \text{Spur A}$ 

 $T = a_{11} + a_{22} = \text{Spur A}$   $\Delta = \det A = a_{11} a_{22} - a_{12} a_{2}$ 

man wählt:  $||\lambda_1| < |\lambda_2||$ 

 $q_2$  ist schneller EV

EV's berechnen:  $(A - \lambda_1 E) \underline{q_1} = 0$  $(A-\lambda_2 E)\underline{q_2} = 0$ 

Zeitkonstante berechnen:  $\tau = \frac{-1}{\lambda}$ 

Lösen der homogenen Zustandsgleichungen ohne Erregung  $\left[\dot{x}(t)=A_{X}(t)\right]$  v(t)=0

 $c_{1,2}$  mit Anfangsbedingung bestimmen :  $x(0) = c_1 \underline{q_1} + c_2 \underline{q_2}$ 

2. Fall:  $\lambda = \lambda_1 = \lambda_2$  $\underline{x}(t) = e^{\lambda t} \left[ E + (A - \lambda E) t \right] \begin{pmatrix} c_1 \\ c_2 \end{pmatrix}$  $\underline{x}(t) = c_1 e^{A_1 t} \underline{q}_1 + c_2 e^{A_2 t} \underline{q}_2$ 

1. Fall:  $\lambda_1 \neq \lambda_2 \in \mathbb{R}$ 

- 3. Fall:  $\lambda_1 = \overline{\lambda_2} = \lambda \in \mathbb{C}$  $\underline{x}(t) = c_1 R e(e^{\lambda t} \underline{q}) + c_2 I m(e^{\lambda t} \underline{q})$
- $\underline{x}(t) = c_1 e^{\alpha t} \left[ \cos(\beta t) \underline{q_t} \sin(\beta t) \underline{q_t} \right] + c_2 e^{\alpha t} \left[ \sin(\beta t) \underline{q_t} + \cos(\beta t) \underline{q_t} \right]$  $(\lambda = \alpha + j\beta, \alpha = Dämpfung)$

# ösen der homogenen Zustandsgleichungen durch Transformation auf Normalform

$$\mathcal{Q}^{-1}A\mathcal{Q}{=}A{=}\begin{bmatrix}\lambda_1 & 0 \\ 0 & \lambda_2\end{bmatrix}, \ \text{Modalmatrix:} \ \mathcal{Q}{=}[\underline{q_1},\underline{q_2}] \qquad \qquad \underline{\xi_0}{=}$$

- $\left[\underline{\xi_0} = Q^{-1}\underline{x_0}\right]$  bestimmen
- Normalform:  $\dot{\xi} = \Lambda \xi \implies \xi(t) = e^{\Lambda t} \underline{\xi_0}$

Lösung: 
$$\xi(t) = \begin{bmatrix} e^{\lambda_t} \xi_{01} \\ e^{\lambda_t} \xi_{02} \end{bmatrix}$$
 Rückransformation:  $\mathbf{x}(t) = \mathcal{Q}\xi(t)$ 

2. Fall:  $\lambda_1 = \lambda_2$  Transformation auf Jordan-Normalform

Transformation  $\xi_0 = Q^{-1} x_0$  kann nicht ausgeführt werden, da Q nicht mehr invertierbar ist.

$$J = \begin{bmatrix} \lambda & 1 \\ 0 & \lambda \end{bmatrix} \qquad \underline{\xi}_0 = \underline{Q}^{-1}\underline{\chi}_0 \qquad \qquad \underline{Q}' = \begin{bmatrix} \\ 0 & \lambda \end{bmatrix} \qquad \qquad \underline{Q}' = \begin{bmatrix} \\ \underline{\xi}_0 \end{bmatrix}$$
Lösung: 
$$\begin{bmatrix} \underline{\xi}_0 \\ \underline{\xi}_0 \end{bmatrix} = \begin{bmatrix} e^{\lambda t} & te^{\lambda t} \\ 0 & e^{\lambda t} \end{bmatrix} \begin{bmatrix} \underline{\xi}_{01} \\ \underline{\xi}_{02} \end{bmatrix} \qquad \text{Rickra}$$

$$(t) = e^{h} \underline{\xi_0} = \begin{bmatrix} e^{\lambda t} & te^{\lambda t} \\ 0 & e^{\lambda t} \end{bmatrix} \begin{bmatrix} \xi_{01} \\ \xi_{02} \end{bmatrix} \quad \text{Rückra}$$

$$Q' = \begin{bmatrix} a_{11} - a_{12} & -a_{12} \\ a_{11} - a_{12} & a_{11} - a_{12} \\ 2 & 2 \end{bmatrix}$$
Rückransformation  $x(t) = Q' \xi(t)$ 

3. Fall:  $\lambda_1 = \lambda_2^* = \overline{\lambda_2} = (\alpha \pm \beta) \in \mathbb{C}$  Transformation auf reellwertige Normalform

Komplexwertige Normalform: 
$$A = \begin{bmatrix} \alpha + j\beta & 0 \\ 0 & \alpha - j\beta \end{bmatrix}$$
  
Reelwertige Normalform:  $A' = \begin{bmatrix} \alpha & -\beta \\ \beta & \alpha \end{bmatrix}$ 

Reelwertige Normalform: 
$$\Lambda' = \begin{bmatrix} \alpha & -\beta \\ \beta & \alpha \end{bmatrix}$$

$$\mathcal{Q}{=}{\left[q,q^*\right]} \hspace*{0.2cm} ; \hspace*{0.2cm} \mathcal{Q}'{=}{\left[\underline{q_r},{-}\underline{q_i}\right]}$$

$$x = Q \xi \Leftrightarrow x = Q' \xi' \qquad \left[ \xi' = Q'^{-1} Q \xi = \begin{bmatrix} 1 & 1 \\ -j & j \end{bmatrix} \xi \right] \text{ ausfilintich: } \xi_1' = \xi_1 + \xi_2 = 2Re(\xi)$$
$$\xi_2' = -j(\xi_1 - \xi_2) = 2Im(\xi)$$

- <u>Lösen von autonomen Zustandsgleichung</u> durch Zurückführen auf ein hom. System  $\left[\dot{\mathbf{x}}(t)=A\mathbf{x}(t)+B_{\frac{V_0}{2}}\right]$   $v_0=const$
- 1. Fall: Wenn A invertierbar  $\Rightarrow$  Koordinatentransformation:  $\underline{x}' = \underline{x} \underline{x}_{\underline{\omega}}$ ;  $\underline{x}' = \underline{x}$ ;  $\underline{x}_{\underline{\omega}} = -A^{-1}B_{\underline{\nu}_{\underline{0}}}$ ⇒ obiger Lösungsansatz
- 2. Fall:  $x = x(hom) + x(t_{\infty})$  $\Rightarrow$  homogene DGL:  $\dot{x'} = Ax'$
- entspricht einer Verschiebung des Ursprungs in  $\underline{x}(t_{o})$ !  $\underline{x}(t_{o})\!=\!-A^{-1}B\underline{v_{0}}$  ist stationärer Endwert im stabilen Fall
- $A = \begin{bmatrix} a_{11} & a_{12} \\ a_{22} & a_{22} \end{bmatrix} \qquad A^{-1} = \frac{1}{\det A} \begin{vmatrix} a_{22} & -a_{12} \\ -a_{21} & a_{11} \end{vmatrix}$

13

x(hom) ist homogene Lösung

# Zustandsgleichung mit allgemeiner (zeitabhängiger) Erregung

a) allgemeine Form:  $\dot{\mathbf{x}}(t) = A\mathbf{x}(t) + B\mathbf{v}(t)$ 

b) Transformation:  $\underline{\xi} = \Lambda \underline{\xi} + \underline{Q}^{-1} B \underline{\chi} = \Lambda \underline{\xi} + \underline{\nu}' \underline{)} \text{ wobei} \quad \xi = \underline{Q}^{-1} \underline{\chi} \qquad \Lambda = \underline{Q}^{-1} \underline{A} \underline{Q} \qquad \underline{\nu}' = \underline{Q}^{-1} B \underline{\nu} \qquad \underline{Q} = [q_1|q_2]$ 

$$\xi(t) = e^{At} \xi_0 + \int_0^t e^{A(t-t')} \underline{\nu'}(t') dt'$$

c) Lösung:

$$\xi_1(t) = e^{\lambda_t t} \xi_{01} + \int\limits_0^t e^{\lambda_1(t-t')} \nu_1 \ '(t') \ dt'$$

Ausführlich:

$$\xi_{1}(t) = e^{3t} \xi_{01} + \int_{0}^{t} e^{3t^{2}(t-t')} v_{1}''(t') dt'$$
$$\xi_{2}(t) = e^{3t} \xi_{02} + \int_{0}^{t} e^{3t^{2}(t-t')} v_{2}''(t') dt'$$

 d) Rücktransformation des Lösungsvektors  $\xi$  in unsprünglichen Vekror  $x: x = Q\xi$ 

Im Komplexen ist die Richtung von  $\underline{q}_t$  nach  $-q_i$ Ein System ist stabil, wenn gilt: in der  $(\xi_1; \xi_2')$  Ebene immer im  $Re(\lambda_i) < 0$  da dann gilt  $\lim_{t \to \infty} x(t) = \underline{o}$ 

Lösungsbahnen des DGL - Systems  $\dot{x} = Ax$  im  $\mathbb{R}^2$ 

14	13	12	Ξ	10	9	∞	7	6	ر. د	4	w	2	-	
$\begin{pmatrix} 0 & -\beta \\ \beta & 0 \end{pmatrix}$	(β α)	$(\alpha - \beta)$	$\begin{pmatrix} 0 & 1 \\ 0 & 0 \end{pmatrix}$	(0 λ)	(	$\begin{pmatrix} 0 & 0 \\ 0 & 0 \end{pmatrix}$	(0 λ)	(\lambda 0)	$\begin{pmatrix} 0 & \lambda_2 \end{pmatrix}$		$\begin{pmatrix} 0 & \lambda_2 \end{pmatrix}$	$(\lambda_1  0)$	$\begin{pmatrix} \lambda_1 & 0 \\ 0 & \lambda_2 \end{pmatrix}$	Matrix A
$\alpha = 0$ $\beta \neq 0$	$\alpha > 0$ $\beta \neq 0$	$\alpha < 0$ $\beta \neq 0$	λ=0	λ > 0	$\lambda < 0$	λ=0	λ > 0	$\lambda < 0$	$\lambda_2 > 0$	$\lambda_2 < 0$	$0 < \lambda_1 < \lambda_2$	$\lambda_1 < \lambda_2 < 0$	$\lambda_1 < 0 < \lambda_2$	Eigenwerte
lidats	instabil	asymtotisch stabil	instabil	instabil	asymtotisch stabil	stabil	instabil	asymtotisch stabil	instabil	stabil	instabil	asymtotisch stabil	instabil	Art von $x=0$
Wirbelpkt. Zentrum	Stadespaint	Strudelninkt	Gerade von Ruhelagen	3. Art	Knoten	Ebene von Ruhelagen	1. Art	Knoten	Ruhelagen	Gerade von	2. Art	Knoten	Sattelpunkt	Bezeichnung
	<b>(a)</b>	<b></b>		米	米		*	*	###		*	$\mathbb{X}$	#	Bahnen
	(r)	zu 9. aperiodisch gedänpfte Schwingung $\xi_i(t) = (\xi_{ii} + \xi_{i2} t) e^{\alpha t}$ $(\alpha < 0)$ abbinois van $\xi_i$	\$   	$T_2 = -rac{1}{\lambda_2}$	$\xi_1(t) = \xi_{01} \epsilon$ (42.57) $\tau_1 = -\frac{1}{\lambda_1}$	₽			zu 3. unigedamptie schwingung $\xi_1(t) = k \cos(\beta t + \theta)$ $\beta^2 = \omega_0^2$			Kneisthequenz $\beta = v \omega_0^* - \alpha^*$	zu 1. schwach gedämpfte Schwingung Zeinerlauf $\xi_1(t) = ke^{\alpha t}\cos(\beta t + \theta)$ ( $\alpha < 0$ )	Zeitantwort

## Nichtlineare dynamische Schaltungen

## <u>Zustandsgleichungen aufstellen</u>

Zustandsvariable auswählen: bei C: spannungsgest bei L: stromgesteuert flußgesteuert beides Ladungsgest.  $\Rightarrow \Phi$  $\Rightarrow a_C$  $a_C$  $\Rightarrow i_L$ 

> keine Beschreibung!! Größe gesteuert werden, gibt es Wenn die Reaktanzen von keiner

allgemeine Form:  $x_1 = f_1(x_1, x_2)$  $x_2 = f_2(x_1, x_2)$  $i_C = \cdots = C u_C$  $u_L = \cdots = L i_L$ 

möglichst immer spannungs. - bzw. stromgesteuert

 $(u_C, i_L)$ 

- Gleichgewichtspunkte 
$$x_1(t_{\infty}), x_2(t_{\infty})$$
 bestimmen

- durch Zustandsgleichungen  $[\dot{x}_1 = \dot{x}_2 = 0]$  Nullsetzen und rach  $x_1$  und  $x_2$  auflösen
- direkt aus Schaltung bestimmen:  $C \Rightarrow LL$ ,  $L \Rightarrow KS$  (nur sinnfoll wenn Zustandsbeschreibung nicht gebraucht wird)
- Zustandsgleichungen normieren (falls Norm gegeben!)

$$\frac{d}{dt} \Rightarrow \frac{d}{d\tau}$$
 mitsubstitiuieren

- Gleichgewichtspunkte klassifizieren
- Jakobimatrix durch Ableiten der Zusatandsgleichungen aufstellen:
- $J = \frac{df_1}{dx_1}$   $\frac{df_2}{dx_1}$ || GGP,  $x=x(t_{\infty})$
- Gleichgewichtspunkte einzeln in J einsetzen und jeweils Eigenwerte berechnen  $det(J-\lambda E)=0$
- Aus den Eigenwerten folgen die Arten der Phasenprotraits
- bei stückweise linearen Kennlinien braucht man J nicht aufzustellen, sondern man unterteilt jeweils in einzelne lineare Systeme
- Satz von Hartmann: Wenn in einem Gleichgewichtspunkt p der Realteil aller EW's der Jacobi-Matrix undleich Null ist,
- dann verhält sich das System in der Umgebung von p genauso wie ein lineares System mit denselben Eigenwerten (derselben Systemmatix)
- Ist der Realteil auch nur eines einzigen Eigenwerts gleich Null  $(\alpha=0)$  kann man keine Aussage
- über das Stabilitätsverhalten machen. (Außname; Stüchw. Lineare Systeme)
   Bei <u>Stückweise linearen Systemen:</u> Jeden Bereich für sich betrachten und lineare
- Bereichsdifferentialgleichungen angeben.
   Keine Differentiation, Kein Satz von Hartmann nötig!

#### Phasenportrait zeichen

- Gleichgewichtspunkte einzeichen und beschriften (Schnittpunkte von  $m=0; m=\infty$ )
- Eigenvektoren einzeichen (vor allem bei Sattelpunkt und Knoten, bei Strudelpunkt nicht so wichtig)
- Lokale Phasenportraits in der Nähe der Gleichgewichtspunkte einzeichen
- Isoklinen einzeichen:  $f_2(x_1,x_2)=0 \Leftrightarrow m=0$  $f_1(x_1,x_2)=0 \Leftrightarrow m\to\infty$
- m ist Steigung der Tangente an die Trajektorie im Schnittpunkt der Trajektorie mit der Isokline

- Trajektorien einzeichnen
- Separatrix ist / sind Verlängerung der EV der instabilen Gleichgewichtspunkte (auch gekrümmt)
   Wenn alle Bauelemente der Schaltung ungepolt sind, ist das Phasenportrait punktsymmetrisch zum Ursprung.

Konservative Schaltungen (hinreichend genaue Modelle realer Schaltungen sind niemals konservativ!)

Bedingung: für konservative Schaltungen existiert stetige Energiefunktion E(x)

$$\dot{E}=0$$
 ,  $\left|\frac{\partial E}{\partial x_1}f_1 + \frac{\partial E}{\partial x_2}f_2 = 0\right|$ 

- Nur Sattel- und Wirbelpunkte sind als Arten von Gelichgewichtspunkten möglich

- Trajektorien sind Äquipotentiallinien der Energiefunktion

$$\Gamma$$
= Trajektorie

 $E(\Gamma) = E(u_C(0), i_L(0))$  $E(I) = \frac{1}{2}(C u_C^2 + L i_L^2)$  in einem Schwingkreis gespeicherte Feldenergie E

- Scheitelwerte  $\hat{u_c}, \hat{i_L}$  erhält man durch Nullsetzen ser jeweils anderen Zustandsgröße  $\hat{i_L} = \sqrt{\frac{2E(T)}{L}}$   $\hat{u_C} = \sqrt{\frac{2E(T)}{C}}$ 

- Zeitdauer eines Umlaufs um eine Trajektonie  $\left| \begin{array}{l} T_0 = T(I) = \oint\limits_\Gamma dt = 4 \int\limits_0^{\tau} \frac{L}{u_C} di_L = 2 \, \pi \, \sqrt{LC} \end{array} \right|$ 

- Kreisfrequenz 
$$\omega_0 = 2\pi f_0 = \frac{1}{\sqrt{LC}}$$

$$\omega_0 = \frac{2\pi}{T}$$
;  $u_C = \hat{u}_C \cos(\omega_0 t - \Phi_0)$ ;  $i_L = \hat{i}_L \sin(\omega t - \Phi_0)$ 

Ergänzung zum Statz von Hartmann:

Ein Gleichgewichtspunkt p einer nichtlinearen dynamischen Schaltung ist genau dann ein Wirbelpunkt, wenn seine Jacobimatrix rein imagiräre EW's  $(\alpha=0)$  hat und das System in einer offenen Umgebung U von p konservativ ist.

#### Oszilatoren

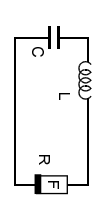
Phasenpotrait ist stabiler <u>Grenzzyklus</u> (und damit ein Oszilator) ⇔

Stabilitätsuntersuchung: EWs betrachten:

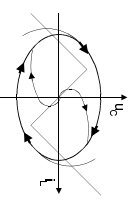
 $Re > 0 \Rightarrow GGP instabil$   $Re = 0 \Rightarrow keine Aussage$  $Re < 0 \Rightarrow GGP stabil$ 

- Es darf nur einen Gleichgewichtspunkt q geben. Dieser muß instabil sein
- autonomes, dynamisches System zweiten Grades
- Trajektorien müssen zu allen Anfangswerten aus Umgebung U beschränkt sein (bei letztendlich passiven Elementen immer der Fall!)
- Zustandsgrößen sind beschränkt (Die Zustandsgrößen sind beschränkt wenn die Schaltung nur
- aus positiven, linearen Kapazitäten und Induktivitäten sowie resistiven Elementen besteht)

Stückweise lineare Oszilatoren:



 $\dot{i}_L\!=\!-\frac{1}{L}u_C\!-\!\frac{1}{L}\!\cdot\!r_F(i_L)$ 



Relaxationsoszilator (stückweise linearer Oszi.) Phasenportrait

fast harmonischer Oszilator (quasilinearer Oszilator)



Amplitude abhängig von Nichtlinearität der Bauteile.  $(L \to \infty, C \to \infty, R \to 0)$ Frequenz abhängig von den Werten der Reaktanzen.

gegenüber dem des resistiven Elements:  $\Leftrightarrow 2\sqrt{\frac{L}{C}} \gg R$ Das Widerstandsniveau des Schwingkreises ist sehr hoch Resonanz frequenz  $\omega_0 = \frac{1}{\sqrt{LC}}$ 

trapezförmig

Nichtlinearität der Bauteile bestimmt. Frequenz und Amplitude werden wesentlich von  $(L \rightarrow 0, R \rightarrow \infty)$ 

$$\omega_0 = \frac{\pi}{\ln 3} \frac{1}{RC}$$
$$2\sqrt{\frac{L}{C}} \ll R$$

# Komplexe Wechselstromrechnung, Analyse dynamischer Schaltungen

#### Allgemeines:

Eigenschwingung der dynamischen Schaltung:  $|x(t)=Re[A_me^{\sigma t}e^{t(\alpha+\alpha t)}]=A_me^{\sigma t}\cos(\omega t+\alpha)$ 

$$p = \sigma + j \omega$$
  $\Leftarrow$  Frequenzparameter  $p$ 

$$\omega = 2\pi f$$
  $\in$  Kreisfrequenz  $\omega$ ;  $f =$  technische Frequenz  $(f = \frac{1}{T_0})$ 

$$A = A_m e^{i\alpha}$$
  $\leftarrow$  Komplexe Amplitude

$$\boxed{U_L = j \omega L I_L} \quad \text{bzw.} \quad \boxed{I_L = \frac{1}{j \omega L} \cdot U_L} \quad \boxed{U_C = \frac{1}{j \omega C} \cdot I_C}$$

 $I_C = j \omega C U_C$ 

#### Netzwerkfunktionen:

Zweipolfunktionen: (Zeiger die am gleichen Tor definiert sind (Immitanzen))

$$u(t)=Re\left\{Ue^{pt}\right\}$$
  $i(t)=Re\left\{Ie^{pt}\right\}$  mit  $p=j$ 

Impedanz: komplexer Widerstand, Scheinwiderstand

$$Z(j\,\omega) = \frac{U}{I}$$

$$Z_L(p)=pL$$

 $Z_C(p) = \frac{1}{pC}$ 

$$Y(j\omega) = \frac{I}{U}$$

$$Y_L(p) = \frac{1}{pL}$$

$$Y_C(p)=pC$$

- Transferfunktion: (Übertragungsfunktion, Zeigergrößen gehören zu verschiedenen Toren)

$$\Rightarrow \frac{H(j\omega) = \frac{U_{km}}{I_n} = \frac{(-1)^{n+m} det Y_{m}(j\omega)}{det Y_{K}(j\omega)}}{det Y_{m}(j\omega) \text{ ist die Unterd eterminate}}$$

$$von Y_K \text{ die nach streichen der}$$

 $I_q = Y_k(p)U_k$ 

$$H(j\omega) = \frac{1}{2m} = \frac{1}{2m} \frac{m(j-1)}{m(j-1)}$$

$$det Y_m(j\omega) \text{ ist die Unterd eterminate}$$

$$von Y_k \text{ die nach streichen der}$$

$$n\text{-ten Zeile und } m\text{-ten Spalte} \text{ von } Y_k \text{ entsteht}$$

Cramer Regel: 
$$u_{KI} = \frac{\det Y_{KI}}{\det Y_{K}}$$
  
 $\det Y_{KI}$  entsteht durch ersetzen

der i. Spalte in  $Y_K$  durch  $i_q$ 

### Eigenfrequenz bestimmen:

- Transferfunktion faktorisieren (wichtig für Bode)
- Transferfunktion normieren
- Nullstellen des Zählerpolynoms  $\Rightarrow$  Nullstellen von H(p)
- Nullstellen des Nennerpolynoms  $\Rightarrow$  Postellen von H(p)
- Eigenfrequenzen  $p=\sigma+j\omega$

## Aussage über Phasenportrait:

Wenn die Nullstellen des Nennerpolynoms in der linken p Halbebene liegen ist das System stabil

<u>Frequenzgang:</u> (Frequenzabhängigkeit von Berag und Winkel (Real und Imaginärteil) der Komplexwertigen Funktionen)

$$v(\omega)=20 \lg \left| \frac{H(j\omega)}{H(j\omega_0)} \right| \text{ in } dB$$

$$v(\omega) = \ln \left| \frac{H(j\omega)}{H(j\omega_0)} \right|$$
 in Np

$$1 Np = \frac{20 dB}{\ln 10} \approx 8,69 dB$$
$$1 dB \approx 0,115 Np$$

$$\varphi(\omega) = 4H(j\omega) = \begin{cases} \arctan \frac{Im(H(j\omega))}{Re(H(j\omega))} & \text{fix } Re[H(j\omega)] \ge 0 \\ \arctan \frac{Im(H(j\omega))}{Re(H(j\omega))} + \pi & \text{fix } Re[H(j\omega)] < 0 \end{cases}$$

$$|H| = \sqrt{H \cdot H^*}$$

$$lg1/10 = -lg10 = -1$$
  $lg100 = 2$ 

lg = 0

lg10=1

#### Bode Diagramm

$H(j \omega) = k = const$ $\Rightarrow v(\omega) = 20  g k $	
	Betrag $v(\omega)$
v(ω) ★	$v(\omega)$
20 ty let 100 1000 w	logarithmisch auftragen
(0) (0) rad	Phase $\varphi(\omega)$
Tad	$\varphi(\omega)$
	linear auftragen

|--|

 $H(j\omega)=1+\frac{j\omega}{\alpha}$ 

dB (S) ►

Dec Dec

ଞ୍ଚ

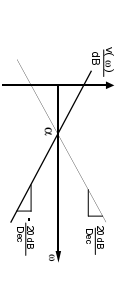
20 dB Dec

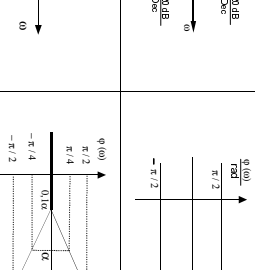
φ(ω) π/2

α < 0

- m / 4

 $-\pi/2$ 

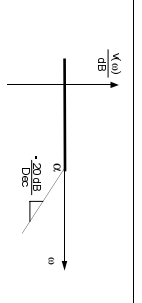




α < 0

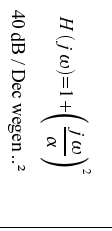
$$H(j\omega)=1-\frac{j\omega}{\alpha}$$

$$H(j\omega)=\frac{1}{1+j\omega l\alpha}$$



 $-\pi/4$   $-\pi/2$ 

φ(ω) π/2 π/4

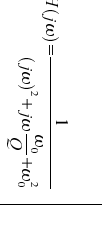


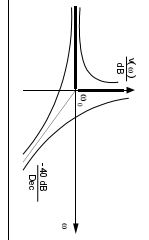
a|(a)

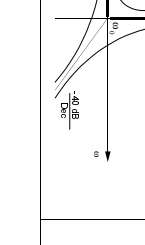
π (©)

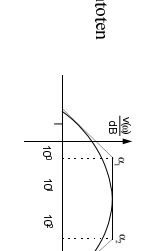
Mathematik

 $e^a \cdot e^b = e^{a+b}$ e=2,71828

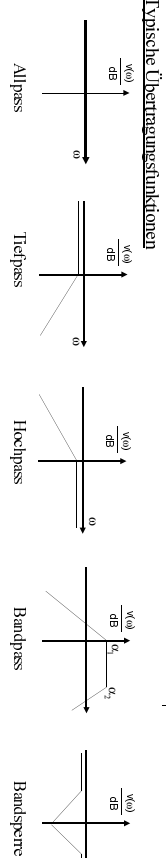






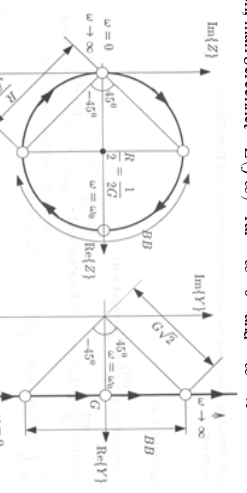


- bei 3dB Eckfrequenzen liegt der Kurvenverlauf um 3dB unter den Asymtoten Schnittpunkte der Asymtoten sind Eigenfrequenzen  $\alpha_1,\alpha_2$  Steigung von  $\varphi$  immer zwischen  $0u\alpha \rightarrow 10\alpha$



#### Ortskurven

- es gibt nur positive Frequenzen; man berechnet  $Z(j\,\omega)$  für  $\omega$ =0 und  $\omega$  $\rightarrow$  $\infty$ 



### A, B; 3dB Eckfrequenzen

BB = Bandbreite

## Aufstellen von Ortskruven:

- -wichtige Frequenzen berechnen:  $\omega=0$  ;  $\omega\to\infty$  ;  $\omega=\omega_0$  ;  $|Re\{\xi\}|=|Im\{\xi\}|$
- Durchlaufsinn überlegen für  $Z=R+j\omega L$

 Komplexer Widerstand Z ist: - in Widerstandsebene: Gerade für  $Z=R+\frac{1}{j\omega L}$ Die Orientierung ist die Richtung absteigender Frequenz.

- in Leitwertsebene : Kreis
   Komplexer Leitwert Y ist : in Widerstandsebene : Kreis
   in Leitwertsebene : Gerade

#### Komplexe Leistung:

$$P = \frac{1}{2}U I = P_w + jP_B$$
  $P_w = \frac{1}{T} \int_0^T u(t)i(t) dt = Re\{P\}$ 

 $\begin{array}{ll} P = & \text{komplexe Leistung} \\ P_w = & \text{Wirld eistung}; \\ Mittelwert der Momentanleistung} \\ P_B = & Im\{P\} = \\ \\ \text{Blind leistung} \\ \text{Leistung hängt nicht von der Frequenz ab!} \end{array}$ 

Effektivwerte bei sinusförmiger Spanngung:

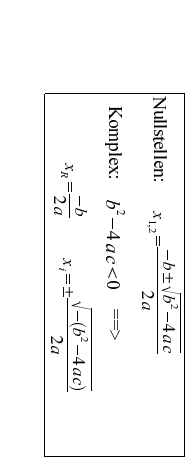
cos ×	sinx	
cos ×	sin× 0	0
cos × 1 0	sinx 0 1	0 1/2 π
cos ×   1   0   1	sin x 0 1 0	$0 \frac{1/2}{\pi} \pi$
cos x   1   0   1   0	sin x 0 1 0 -1	$0 \ \frac{1/2}{\pi} \ \pi \ \frac{3/2}{\pi}$

 $\log \frac{a}{b} = \log a - \log a$  $\log a^k = k \cdot \log a$  $\log a \cdot b = \log a + 1$ 

0	$\log b$	
	\ <u>.</u>	ox V
×,	lnx	PX \



$$\begin{aligned} & \sinh x' = \cosh x & \cosh x' = \sinh x & \tan x' = \frac{1}{\cos^2 x} \\ & \text{T-Glied:} & \text{Pi-Glied:} \\ & R = \begin{bmatrix} R_1 + R_3 & R_3 \\ R_3 & R_2 + R_3 \end{bmatrix} & G = \begin{bmatrix} G_1 + G_2 & -G_2 \\ -G_2 & G_2 + G_3 \end{bmatrix} \end{aligned}$$



-Glied: Querwiderstand: Längswiderstand: 
$$= \begin{bmatrix} G_1 + G_2 & -G_2 \\ -G_2 & G_2 + G_3 \end{bmatrix} \qquad R = \begin{bmatrix} R & R \\ R & R \end{bmatrix} \qquad G = \begin{bmatrix} G & -G \\ -G & G \end{bmatrix}$$